

Digestivo y alimentación en peces



Pieter Bruegel el Viejo

Contenido de la presentación

Anatomía y Morfología del Sistema Digestivo

Boca-cavidad bucal-faringe-esófago-estomago-intestino-anexos

Digestión y absorción

Actividad enzimática

Absorción

Irrigación e inervación del digestivo

Hábitos tróficos

Piscívoros, omnívoros, herbívoros

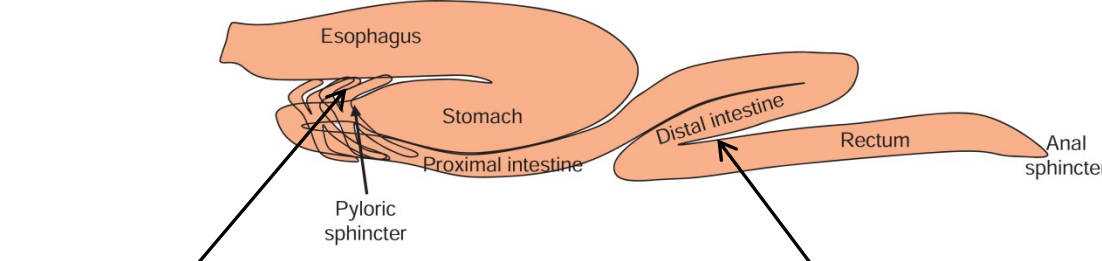
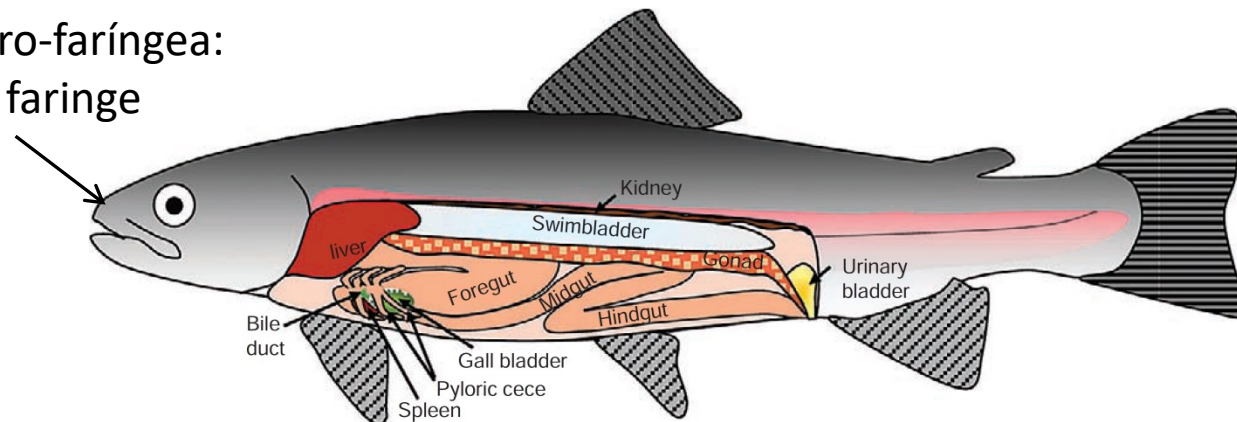
Plasticidad del digestivo

Predicciones de la teoría digestiva

Anatomía y Morfología del Sistema Digestivo

«La digestión es la descomposición mecánica y química (hidrólisis enzimática) de los alimentos en componentes más pequeños para que puedan ser absorbidos por el epitelio intestinal»

Cavidad oro-faríngea:
boca, faringe



Anterior: esófago
y estómago

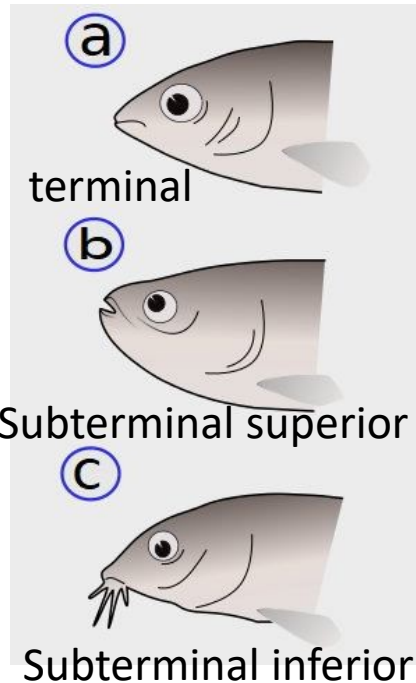
Posterior:
intestino

control hormonal
excreción y funciones inmunes

Boca



Gape limitation



Isistius brasiliensis and *I. plutodus*



Agnatos: mixinas y lampreas

Cavidad Bucal: Dientes, lengua, paladar.

Dentición

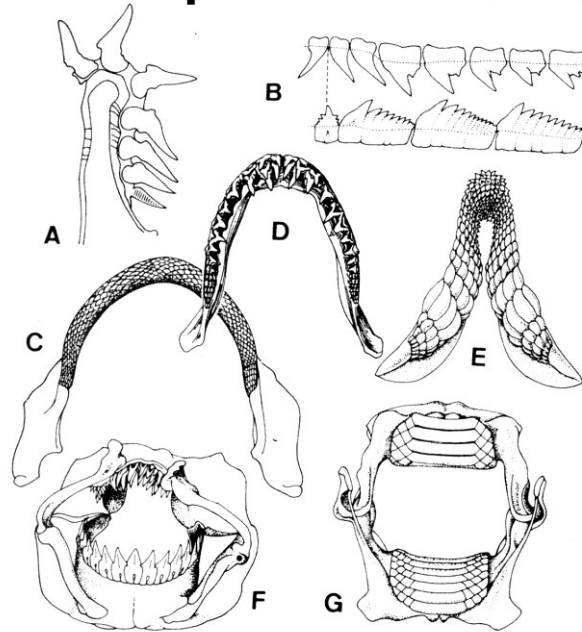
Los agnatos vivientes poseen en su lengua dientes raspantes y cónicos de queratina.

Las lampreas también tienen dientes alrededor de la boca.

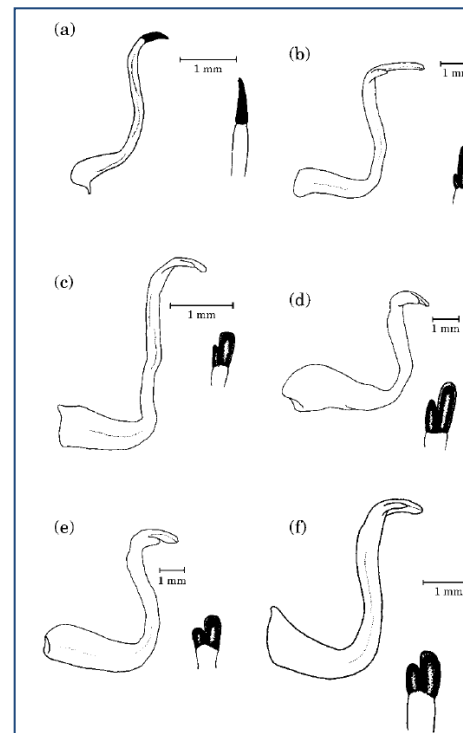
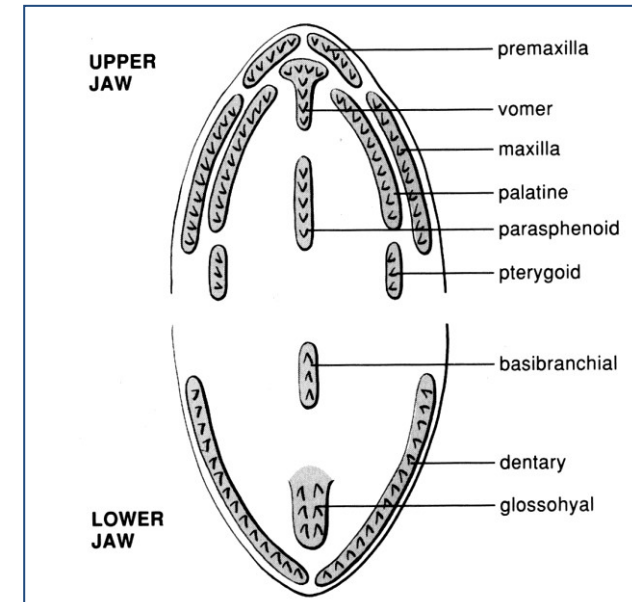


Dentición

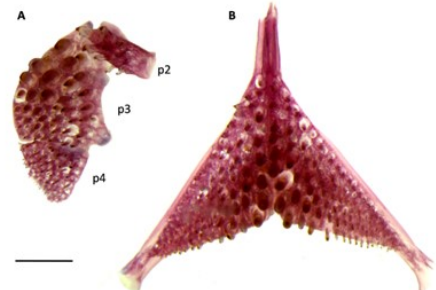
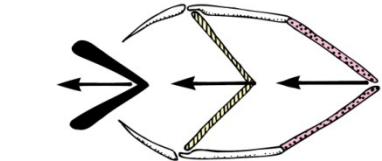
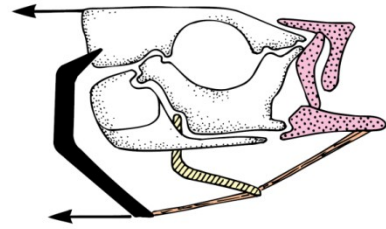
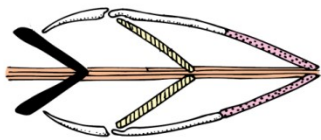
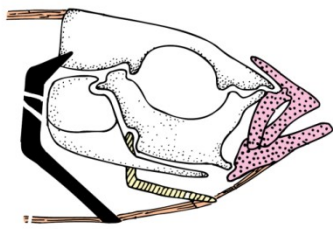
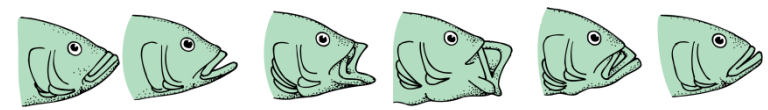
Elasmobranquios



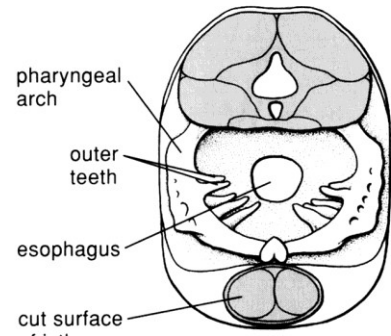
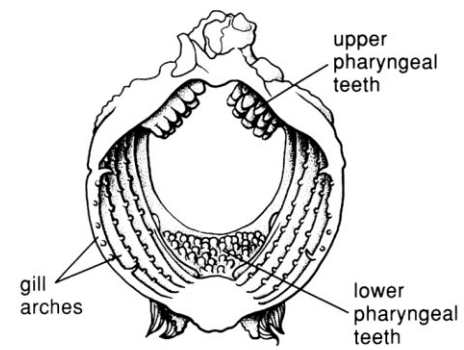
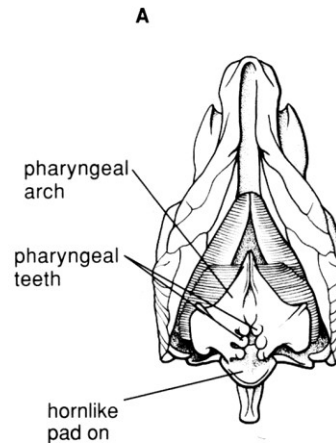
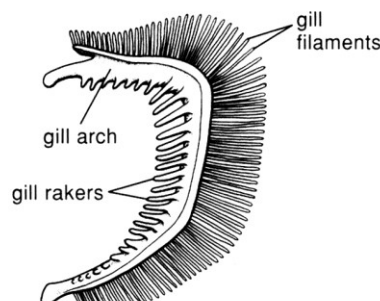
Teleósteos



Cavidad bucal (paladar mejillas y lengua)



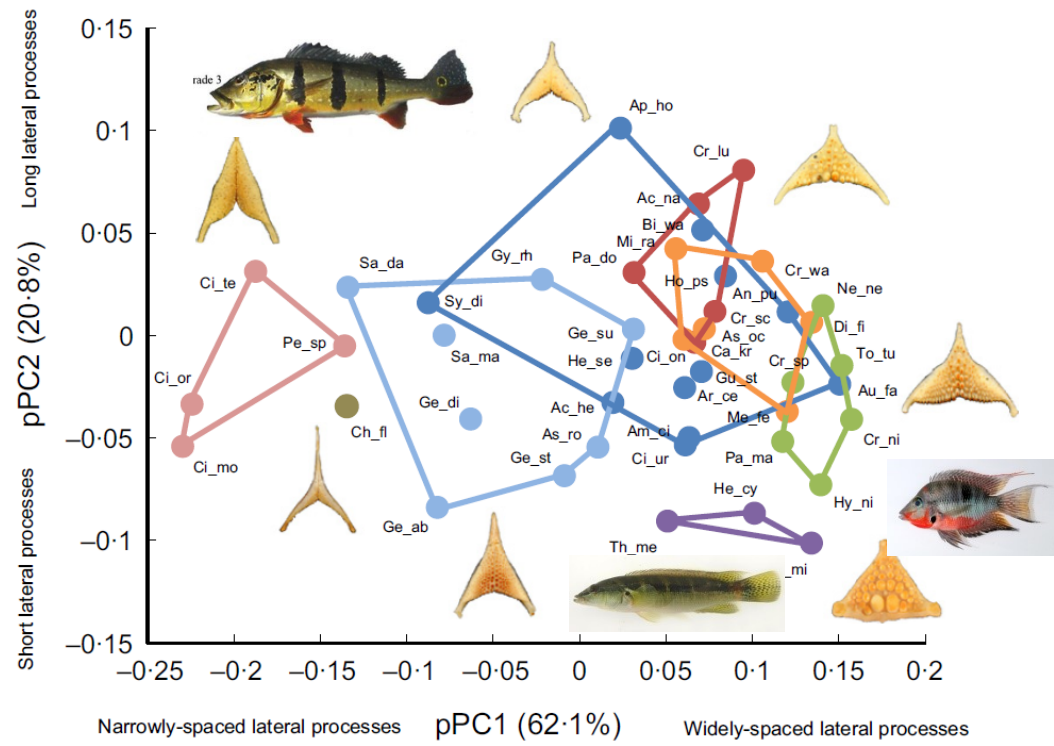
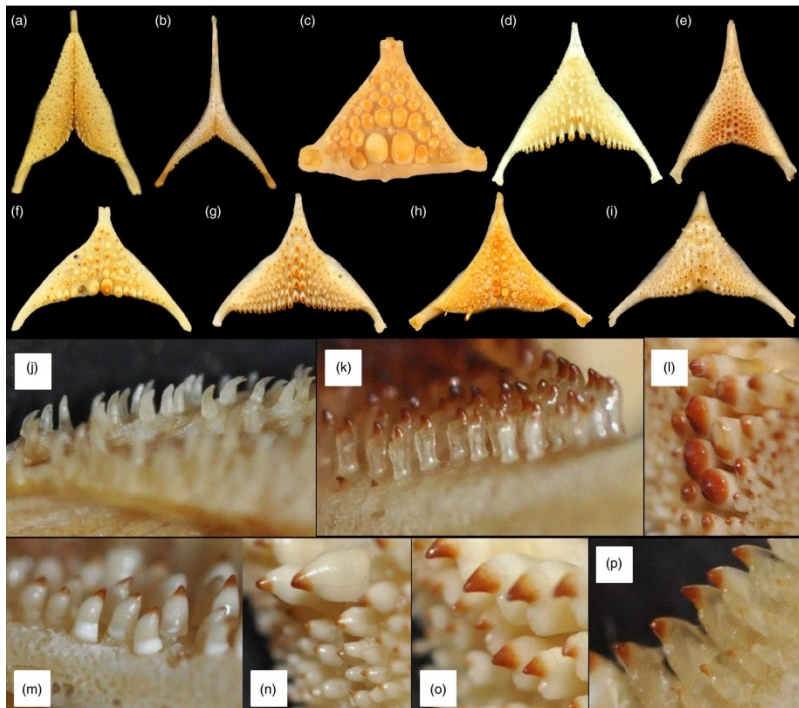
Faringe (arcos branquiales branquiespinas y dientes faríngeos)



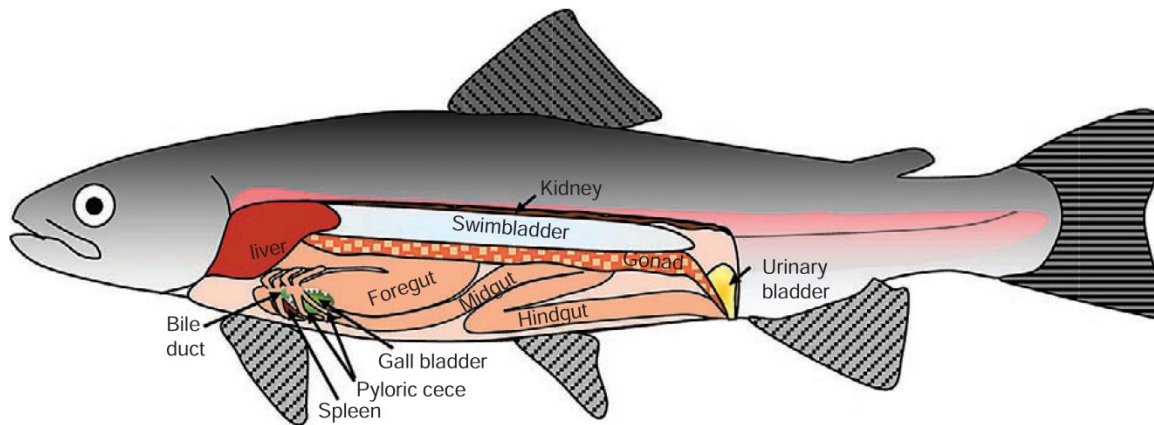
Ecological diversification associated with the pharyngeal jaw diversity of Neotropical cichlid fishes

Edward D. Burress*

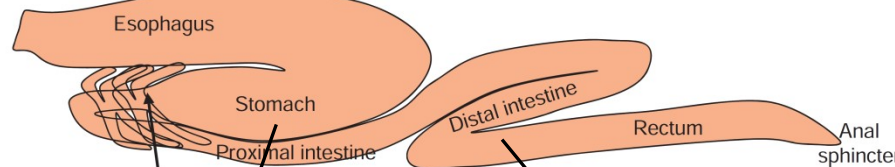
Department of Biological Sciences and Auburn University Museum of Natural History, Auburn University, Auburn, AL 36849, USA



Anatomía y Fisiología del Sistema Digestivo

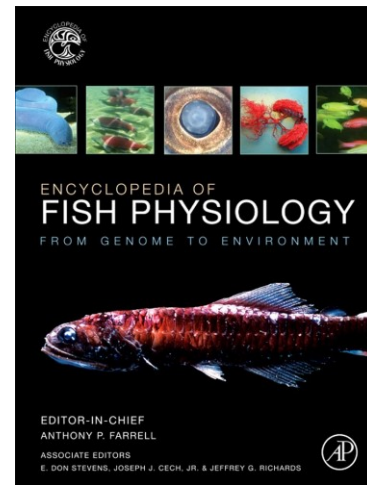
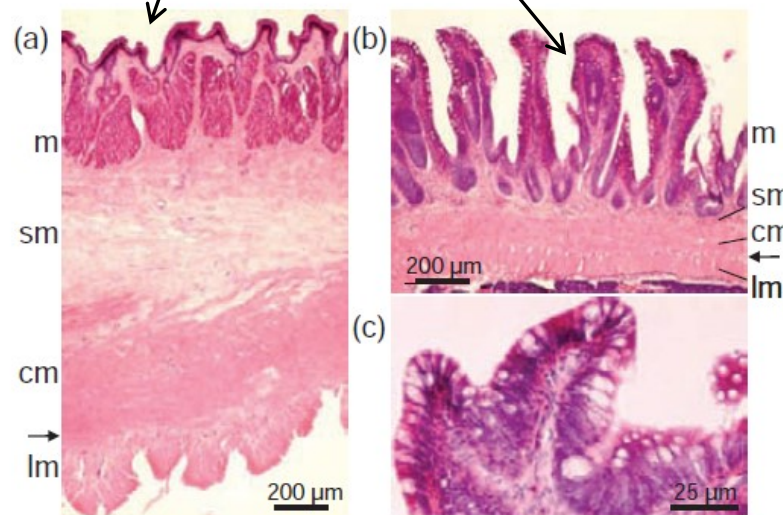


Anterior: esófago
y estómago

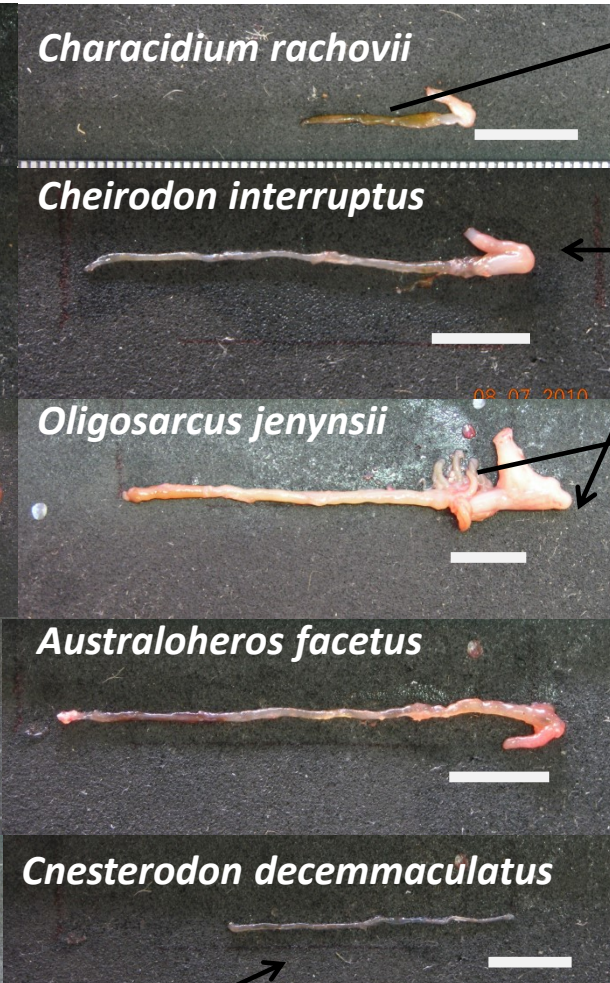


Posterior:
intestino

Mucosa
Submucosa
Músculo circular
Músculo longitudinal
Serosa

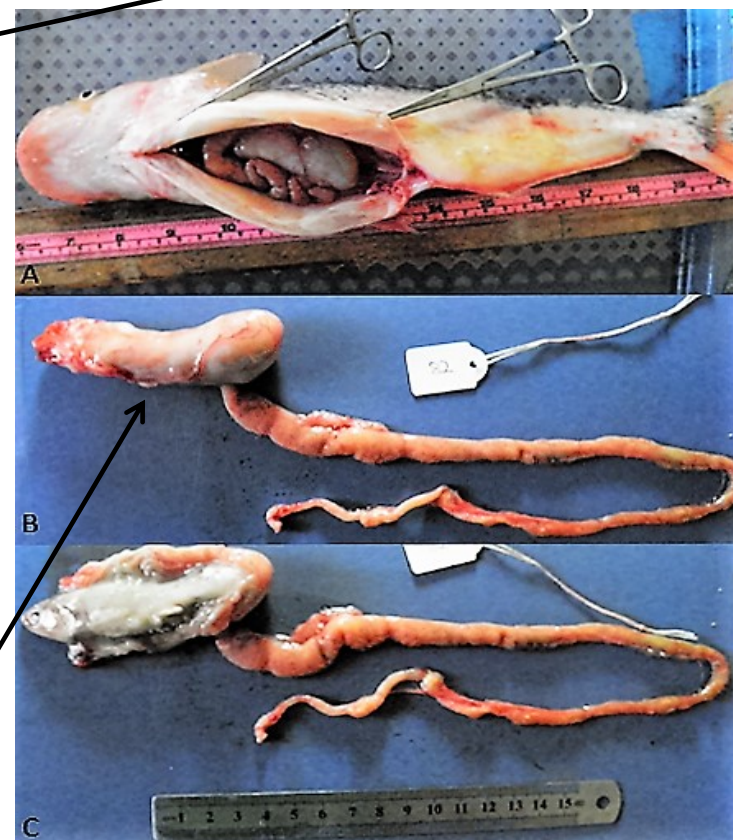


Variación morfológica



Sin estomago

En forma de tubo

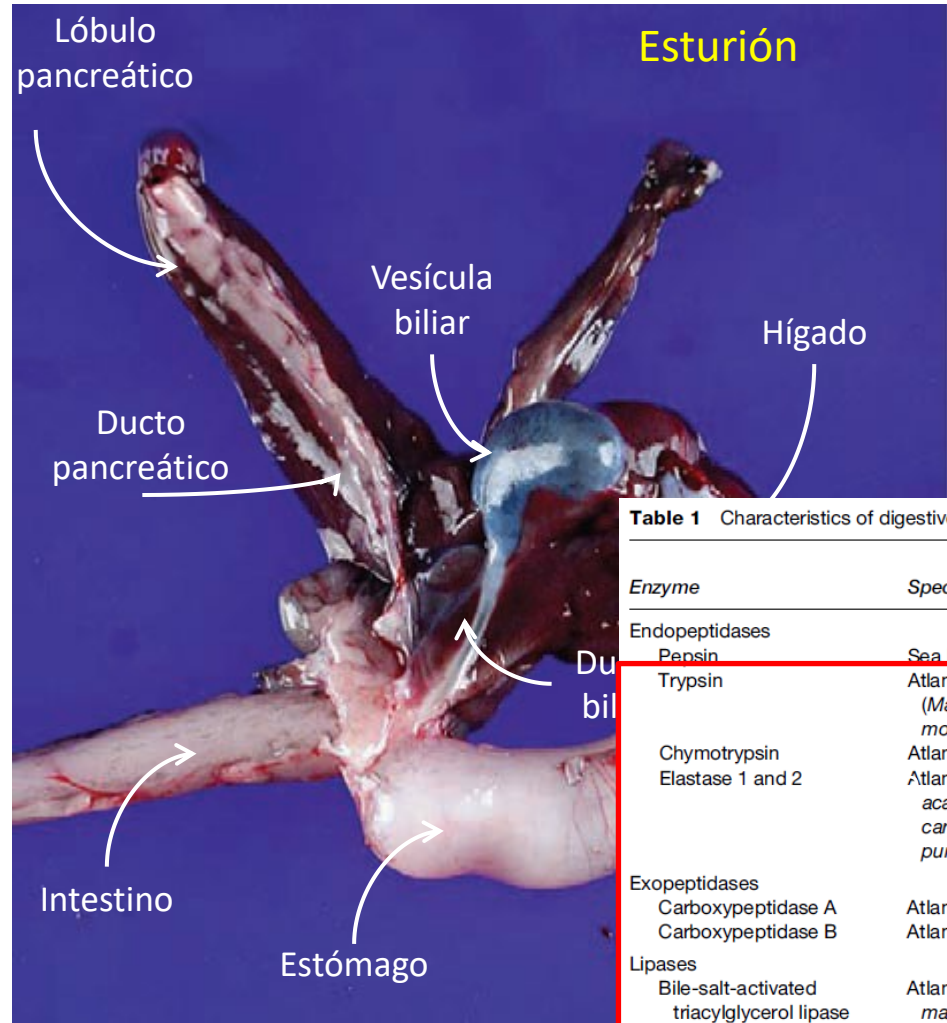


Intestino

En forma de U

En forma de V → Ciegos

Estructuras y secreción de órganos anexos



Estómago -> ácido clorhídrico y pepsinógeno
(celulas oxinticopepticas)

Intestino, páncreas y bilis -> Bicarbonato

Ácidos biliares -> Emulsionantes de grasa

Jugo pancrático ->

Table 1 Characteristics of digestive enzymes secreted by the gastrointestinal tract and its accessory organs

Enzyme	Species investigated	Tissue	pH optimum	Substrate specificity
Endopeptidases				
Pepsin	Sea bass (<i>Dicentrarchus labrax</i>)	Stomach	3	Tyr, Phe, Leu
Trypsin	Atlantic salmon (<i>Salmo salar</i>), capelin (<i>Mallotus villosus</i>), Atlantic cod (<i>Gadus morhua</i>)	Pancreas	7-10	Arg, Lys
Chymotrypsin	Atlantic salmon	Pancreas	7-9	Tyr, Trp, Phe, Met, Leu, Ala, Gly, Ser
Elastase 1 and 2	Atlantic salmon, spiny dogfish (<i>Squalus acanthias</i>), common carp (<i>Cyprinus carpio</i>), channel catfish (<i>Ictalurus punctatus</i>)	Pancreas	7-9	
Exopeptidases				
Carboxypeptidase A	Atlantic salmon, Atlantic cod	Pancreas	7-10	Val, Leu, Ile, Ala
Carboxypeptidase B	Atlantic salmon, Atlantic cod	Pancreas	7-10	Arg, Lys
Lipases				
Bile-salt-activated triacylglycerol lipase	Atlantic cod, European turbot (<i>Psetta maxima</i>)	Pancreas	7-10	Ester bond in triacylglycerides, esp. in the 1- and 3-positions
Co-lipase-activated triacylglycerol lipase				
Phospholipase A	Sea bream (<i>Sparus aurata</i>)	Pancreas	8-9	Phospholipids
Amylase	Atlantic salmon, rainbow trout (<i>Oncorhynchus mykiss</i>), common carp	Pancreas	4-9	α -1,4-bonds in starch

Estructuras y secreción de órganos anexos

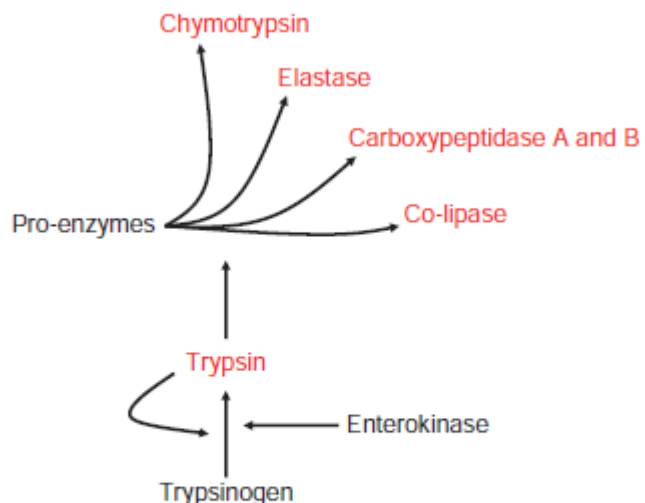
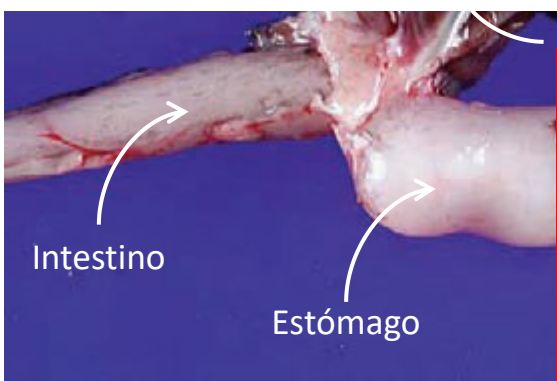


Figure 7 Illustration of activation of pro-enzymes secreted from the pancreas. Enterokinase activates trypsinogen to trypsin, which activates the other pro-enzymes. Trypsin also shows autoactivation.



Estómago -> ácido clorhídrico y pepsinógeno

Intestino, páncreas y bilis -> Bicarbonato

Ácidos biliares -> Emulsionantes de grasa

Jugo pancrático ->

Characteristics of digestive enzymes secreted by the gastrointestinal tract and its accessory organs

	Species investigated	Tissue	pH optimum	Substrate specificity
Endopeptidases				
Pepsin	Sea bass (<i>Dicentrarchus labrax</i>)	Stomach	3	Tyr, Phe, Leu
Trypsin	Atlantic salmon (<i>Salmo salar</i>), capelin (<i>Mallotus villosus</i>), Atlantic cod (<i>Gadus morhua</i>)	Pancreas	7–10	Arg, Lys
Chymotrypsin	Atlantic salmon		7–9	Tyr, Trp, Phe, Met, Leu,
Elastase 1 and 2	Atlantic salmon, spiny dogfish (<i>Squalus acanthias</i>), common carp (<i>Cyprinus carpio</i>), channel catfish (<i>Ictalurus punctatus</i>)	Pancreas	7–9	Ala, Gly, Ser
Exopeptidases				
Carboxypeptidase A	Atlantic salmon, Atlantic cod	Pancreas	7–10	Val, Leu, Ile, Ala
Carboxypeptidase B	Atlantic salmon, Atlantic cod	Pancreas	7–10	Arg, Lys
Lipases				
Bile-salt-activated triacylglycerol lipase	Atlantic cod, European turbot (<i>Psetta maxima</i>)	Pancreas	7–10	Ester bond in triacylglycerides, esp. in the 1- and 3-positions
Co-lipase-activated triacylglycerol lipase				
Phospholipase A	Sea bream (<i>Sparus aurata</i>)	Pancreas	8–9	Phospholipids
Amylase	Atlantic salmon, rainbow trout (<i>Oncorhynchus mykiss</i>), common carp	Pancreas	4–9	α -1,4-bonds in starch

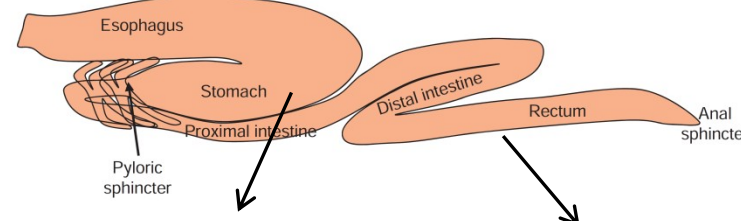
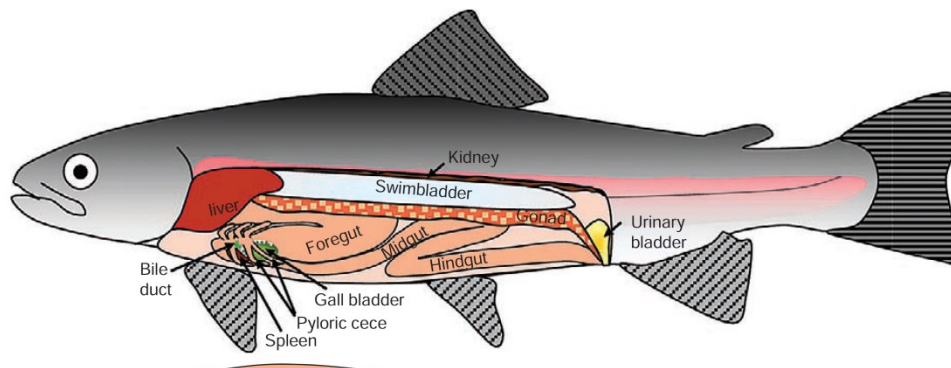
ENZIMAS

Table 1 Characteristics of digestive enzymes secreted by the gastrointestinal tract and its accessory organs

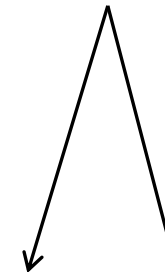
Enzyme	Species investigated	Tissue	pH optimum	Substrate specificity
Endopeptidases				
Pepsin	Sea bass (<i>Dicentrarchus labrax</i>)	Stomach	3	Tyr, Phe, Leu
Trypsin	Atlantic salmon (<i>Salmo salar</i>), capelin (<i>Mallotus villosus</i>), Atlantic cod (<i>Gadus morhua</i>)	Pancreas	7–10	Arg, Lys
Chymotrypsin	Atlantic salmon	Pancreas	7–9	Tyr, Trp, Phe, Met, Leu,
Elastase 1 and 2	Atlantic salmon, spiny dogfish (<i>Squalus acanthias</i>), common carp (<i>Cyprinus carpio</i>), channel catfish (<i>Ictalurus punctatus</i>)	Pancreas	7–9	Ala, Gly, Ser
Exopeptidases				
Carboxypeptidase A	Atlantic salmon, Atlantic cod	Pancreas	7–10	Val, Leu, Ile, Ala
Carboxypeptidase B	Atlantic salmon, Atlantic cod	Pancreas	7–10	Arg, Lys
Lipases				
Bile-salt-activated triacylglycerol lipase	Atlantic cod, European turbot (<i>Psetta maxima</i>)	Pancreas	7–10	Ester bond in triacylglycerides, esp. in the 1- and 3-positions
Co-lipase-activated triacylglycerol lipase				
Phospholipase A	Sea bream (<i>Sparus aurata</i>)	Pancreas	8–9	Phospholipids
Amylase	Atlantic salmon, rainbow trout (<i>Oncorhynchus mykiss</i>), common carp	Pancreas	4–9	α -1,4-bonds in starch

Digestión

«La digestión es la descomposición mecánica y química (hidrólisis enzimática) de los alimentos en componentes más pequeños para que puedan ser absorbidos por el epitelio intestinal»



Absorción

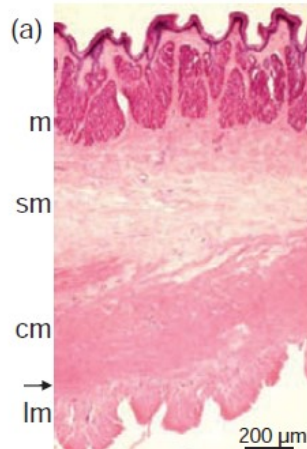


Transcelular



Paracelular

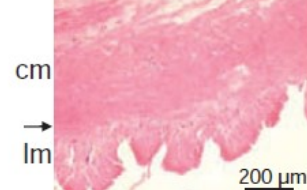
Mucosa



Submucosa



Músculo circular



Músculo longitudinal

Absorción



Paracelular: entre las uniones estrechas de las células epiteliales

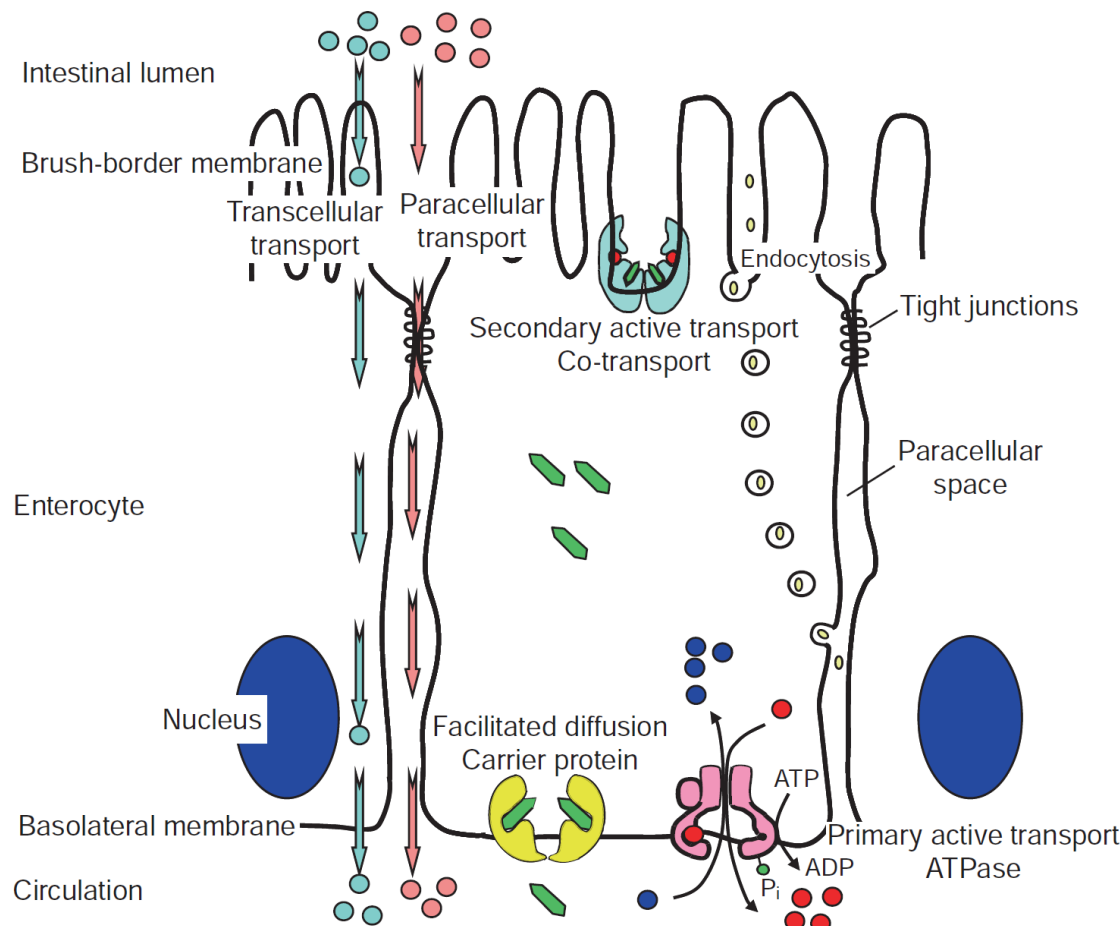
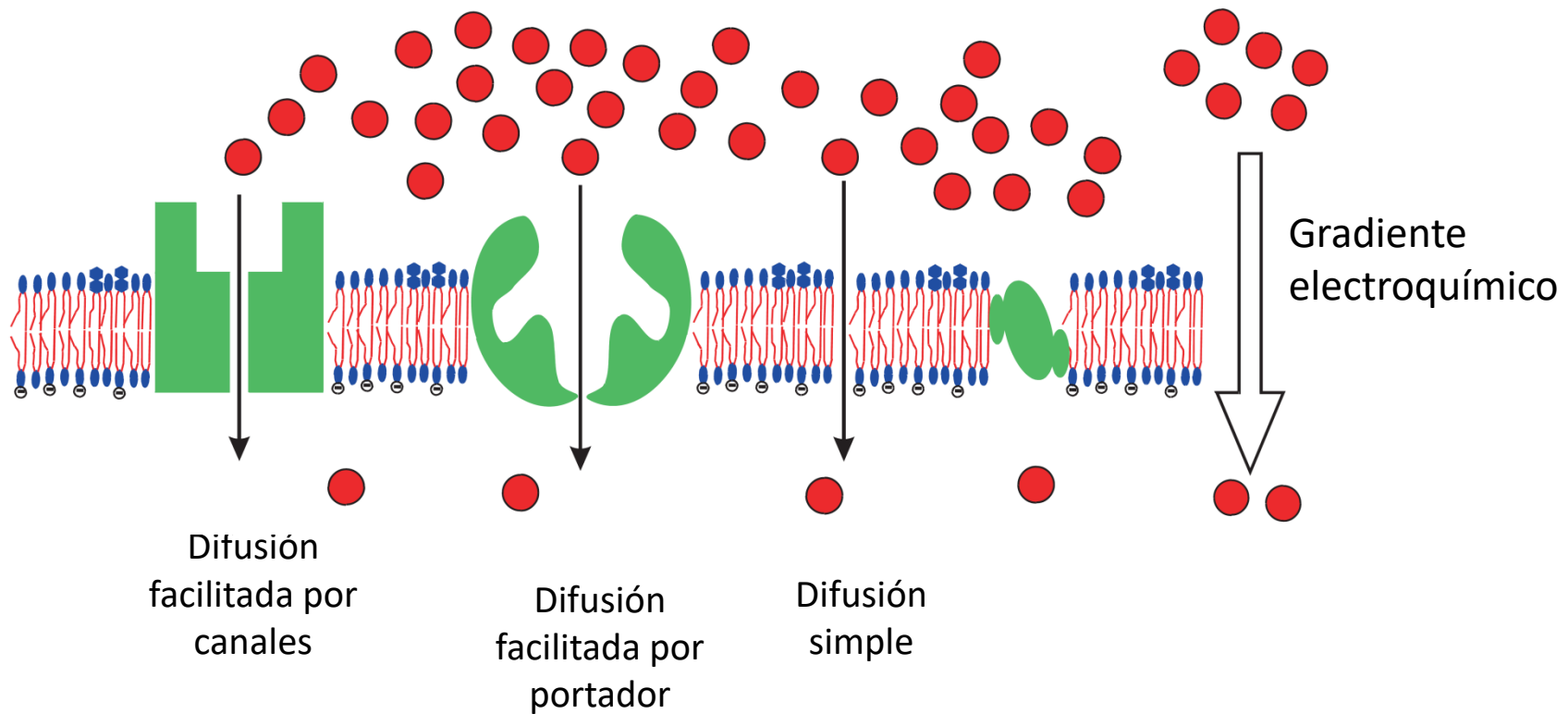


Figure 4 Pathways for absorption across the intestinal epithelium including examples of transporting enzymes inserted in the brush-

Absorción transcelular

Difusión



Irrigación del sistema digestivo



Metil metacrilato

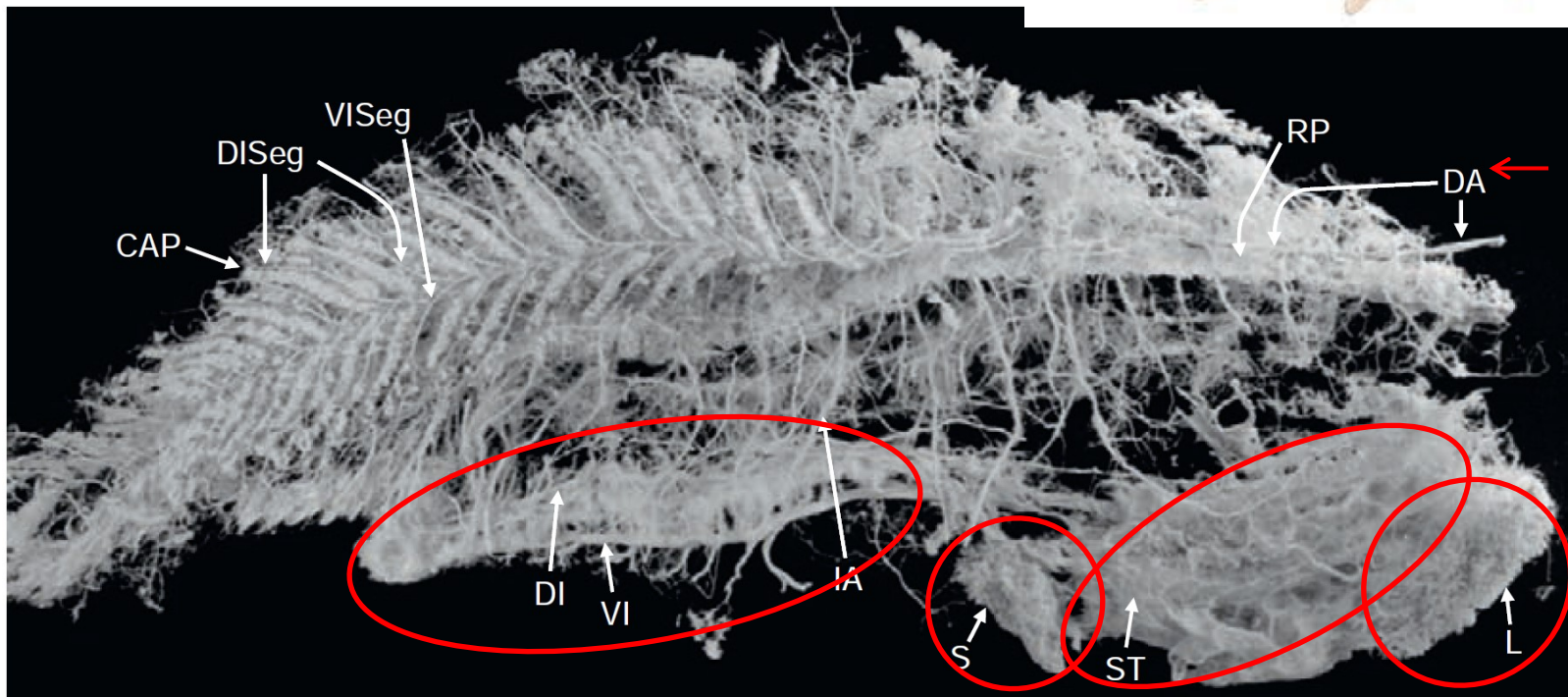
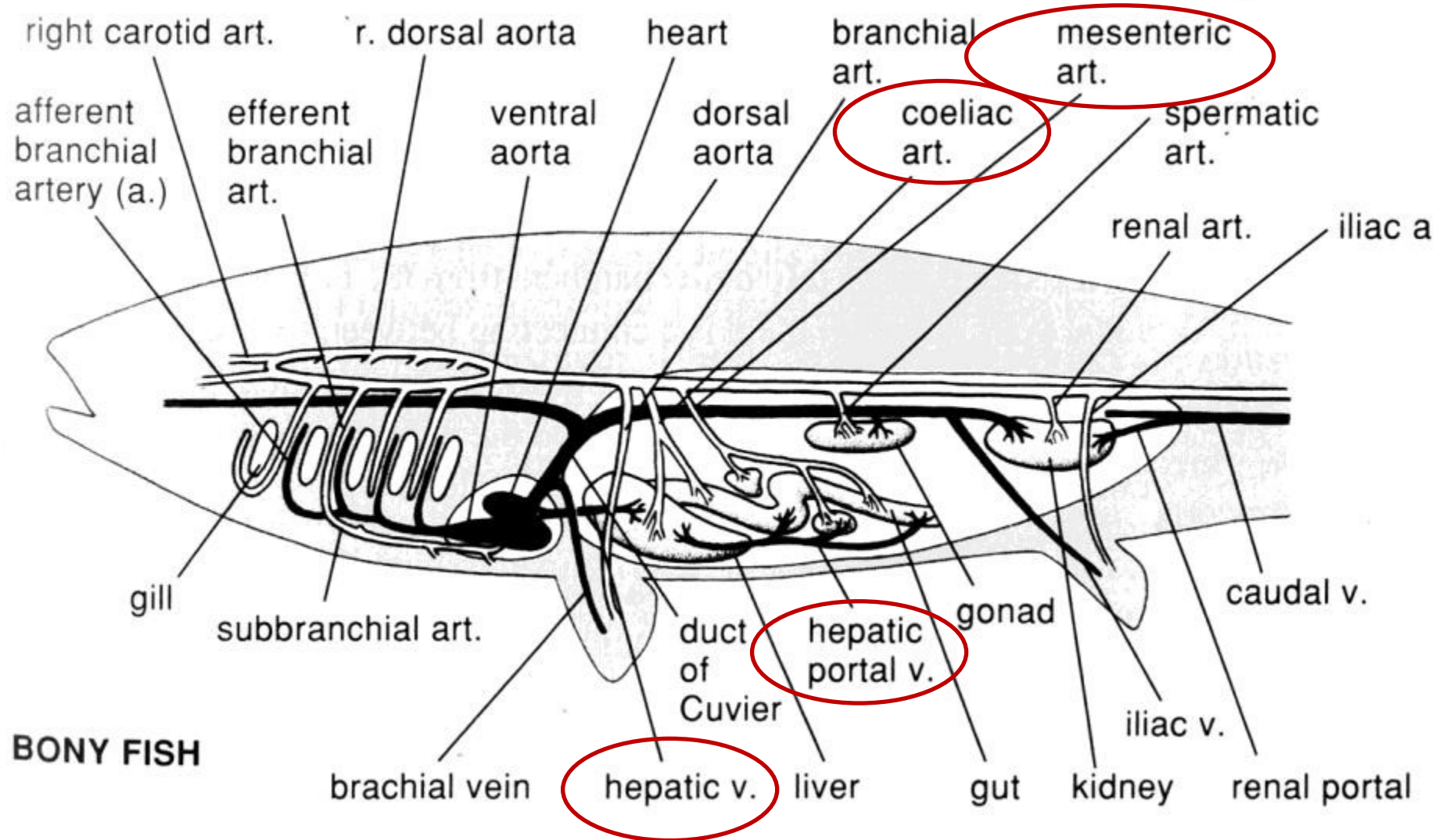


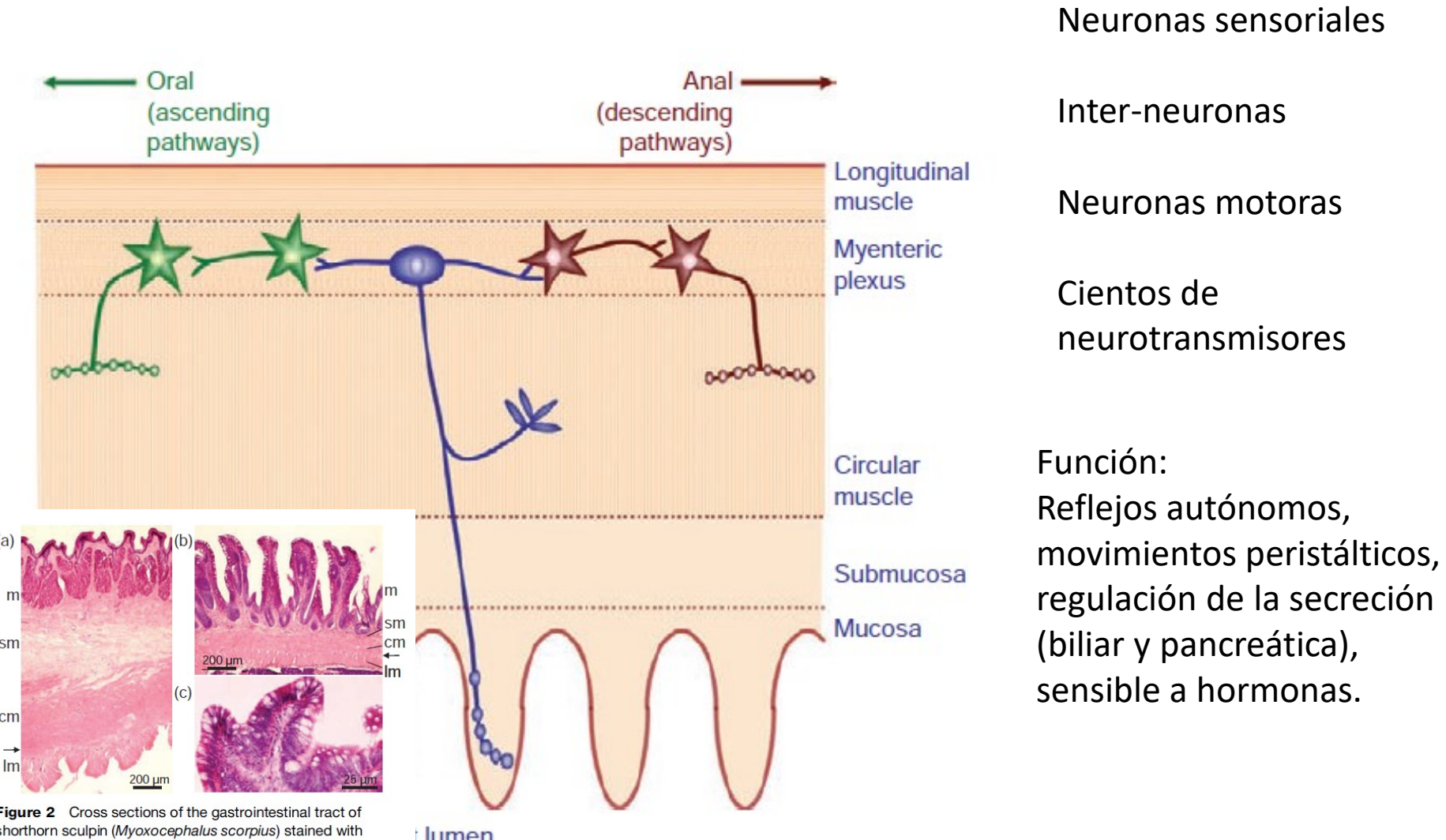
Figure 6 Vascular corrosion replica of the systemic circulation of rainbow trout. The dorsal aorta (DA) and celiacomesenteric artery (not visible) were perfused with liquid methyl methacrylate. After polymerization, the tissue was digested away leaving a vascular replica. This figure shows the dorsal and ventral intersegmental (DISeg and VISeg) and intercostal (IA) arteries and the extensive capillary networks (CAP) they supply. Also visible is the renal portal (RP), liver (L), stomach (S), spleen (SP), and dorsal and ventral intestinal (DI and VI) circulations. See Figure 1 for abbreviations.

Esquema de irrigación del sistema digestivo



Sistema nervioso del digestivo (SNE y extrínseco)

Sistema Nervioso Entérico (SNE):



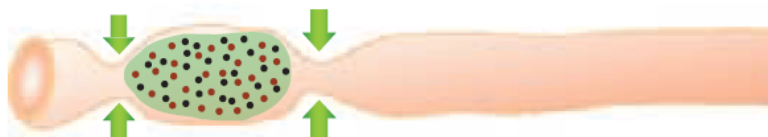
Movimientos peristálticos

Contracciones locales sin avance

Oral



Anal

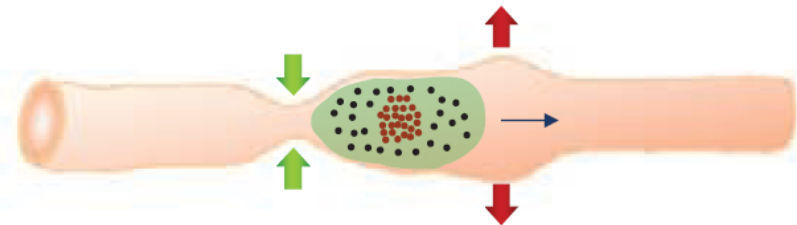
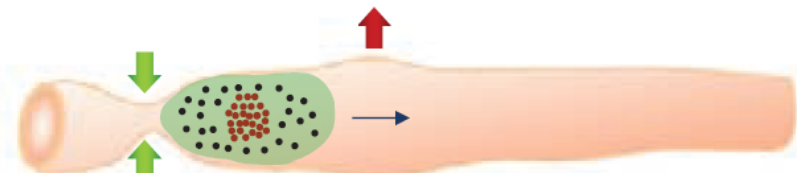


Contracciones de propagación

Oral

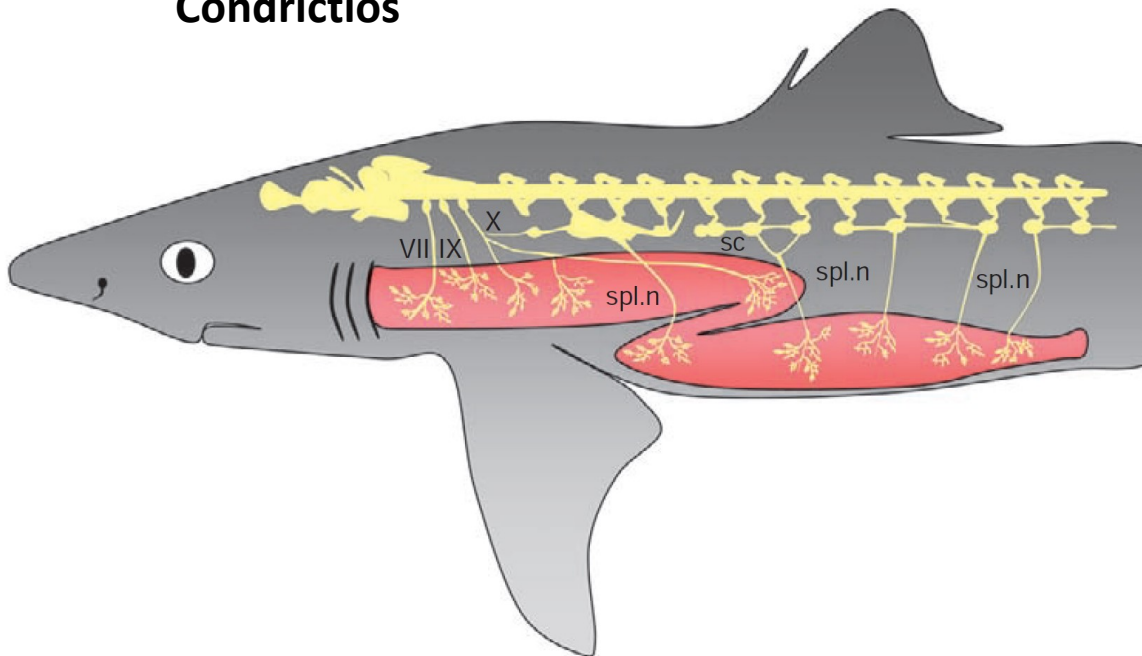


Anal

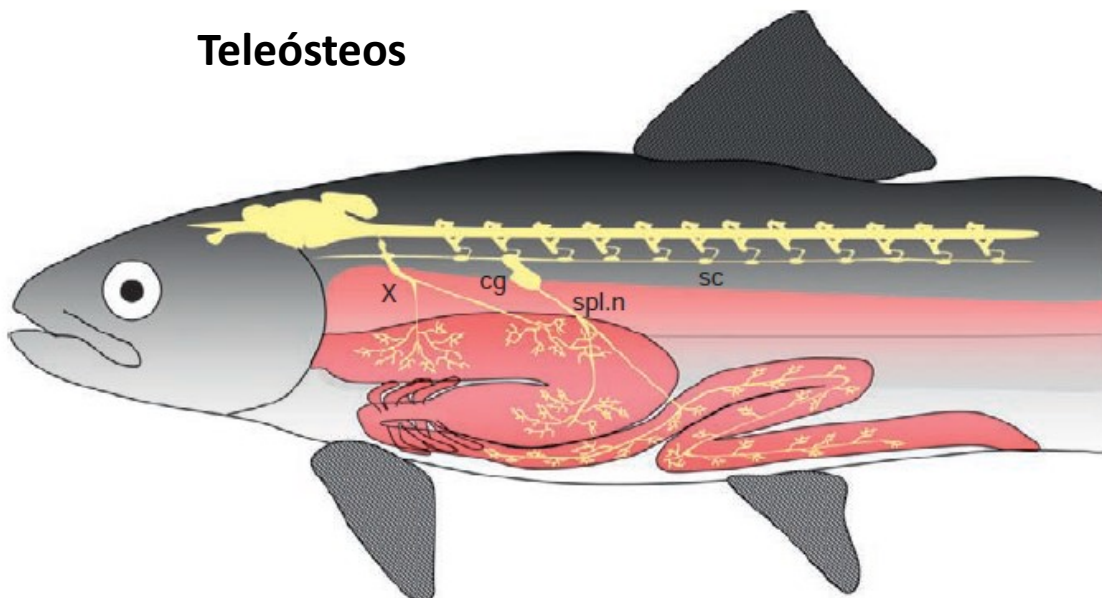


Sistema nervioso extrínseco

Condrictios



Teleósteos



Nervios craneales (**parasimpático**)

VII nervio facial

IX glosofaríngeo

X vago

Simpático

sc cadena simpática

spl. n nervio esplácnico

Nervio craneal (**parasimpático**)

X vago

Simpático

cg ganglio celíaco

spl. n nervio esplácnico

sc cadena simpática

Función: prepara al sistema digestivo ante un proceso digestivo y posteriormente participan en la coordinación del mismo.

Alimentación y Hábitos tróficos



Cleaner wrasse mimics inflict higher costs on their models when they are more aggressive towards signal receivers

Karen L. Cheney*

School of Biological Sciences, The University of Queensland,
Brisbane, Queensland 4072, Australia

*k.cheney@uq.edu.au



Simbiontes limpiadores y los que los imitan y garronean



Ectoparásitos

Algunos Serrasalmidae



Roeboides



Comedores de escamas

Homodiaetus



Isistius brasiliensis and *I. plutodus*



Comedores de moco

Ectoparásitos



B



Trychomicteridae: *Paravandellia*

A



D

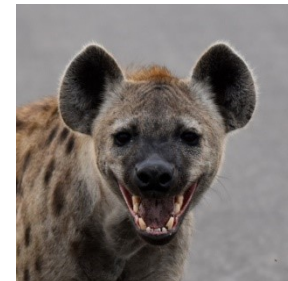


C



Cetopsidae

E



Comedores de niños

Cichlidae



Comedores de colas

Apteronotidae



Hervíboros



Filtradores



Sardinella

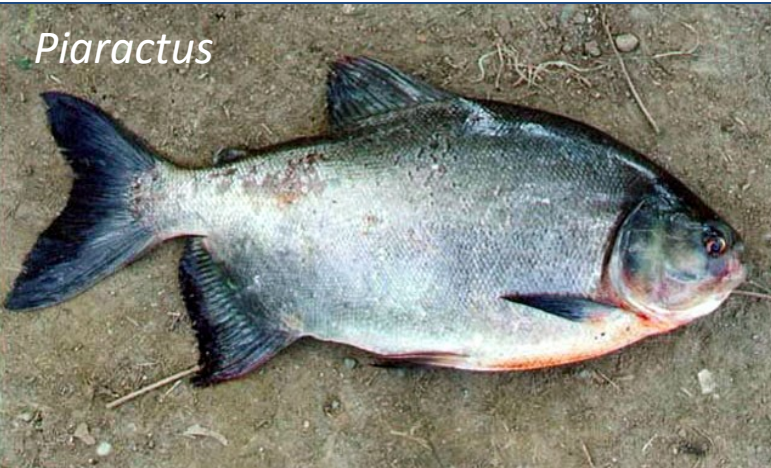
Ramoneador de Perifiton

Apareiodon



Frugívoro

Piaractus



Hypophthalmichthys



Macrófitas

Ctenopharyngodon



Box 5.1
BOX 5.1

Herbivory in fishes

Although carnivory is more common than herbivory among fishes, herbivorous species can have a substantial effect on macrophyte or algal communities in both marine (Alcoverro & Mariani 2004) and freshwater (Numminen et al. 2003) environments. Herbivorous fishes may depend in part on fermentation by symbiotic microorganisms in their guts to digest the plants they consume. Of 27 planktivorous herbivorous teleostean fishes from five families (Piscesanthesidae, Siganidae, Kyphosidae, Acanthuridae, Sisoridae) studied, Siganidae showed elevated levels of short-chained fatty acids (SCFAs) in the posterior gut segments (Clements & Chou 1995). SCFAs are produced by microbial digestion of plant matter suggesting a direct contribution of metabolic fuel by microbial fermentation.

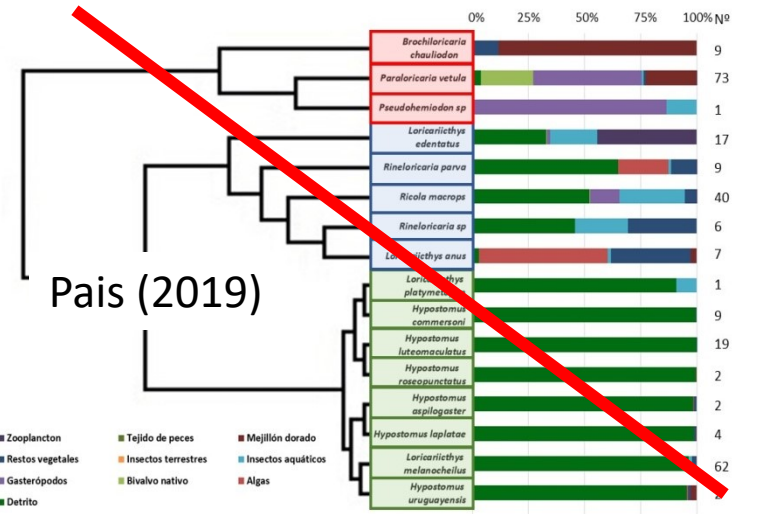
Fermentation digestion may not only benefit herbivorous fishes, however, as some planktivorous fishes studied by Clements and Chou (1995) also showed elevated SCFA levels. The relative contribution of gut microorganisms to digestion and nutrition in fishes deserves further study.

Some herbivorous fishes seem to rely on physical grinding or low stomach pH to break through plant cell walls (Lobel 1981). Of the 27 herbivores studied by Clements and Chou (1995), the six showing the lowest SCFA levels all

Detritívoros



Curimatidae



Loricariidae: *Hypostomus* y *Loricarichthys*



Lamprea del Caspio: La larva Ammocoete se alimenta de diatomeas y detritus. Los adultos en algas, plantas vasculares y carroña.



Ramoneadores omnívoros

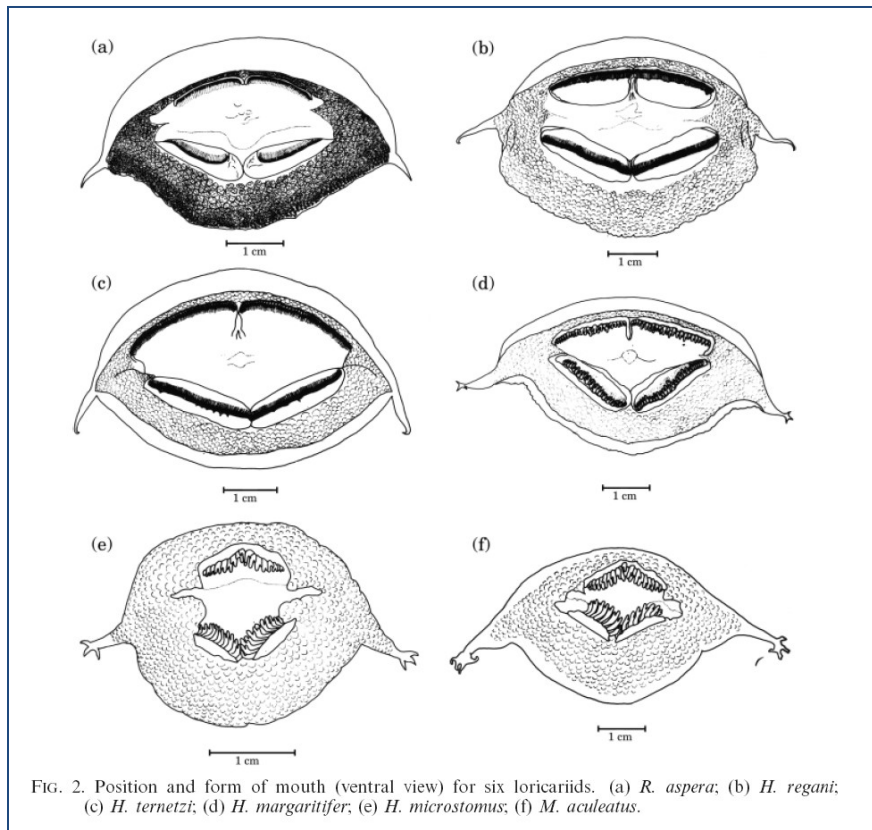
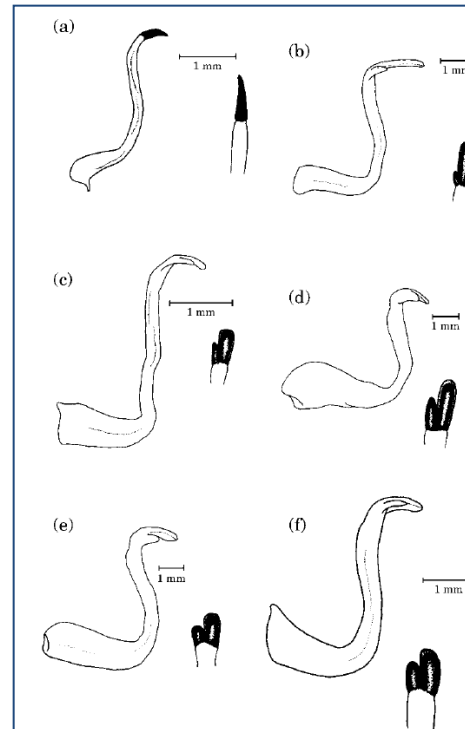


FIG. 2. Position and form of mouth (ventral view) for six loricariids. (a) *R. aspera*; (b) *H. regani*; (c) *H. ternetzi*; (d) *H. margaritifer*; (e) *H. microstomus*; (f) *M. aculeatus*.



Loricariidae: *Ricola*, *Paraloricaria*

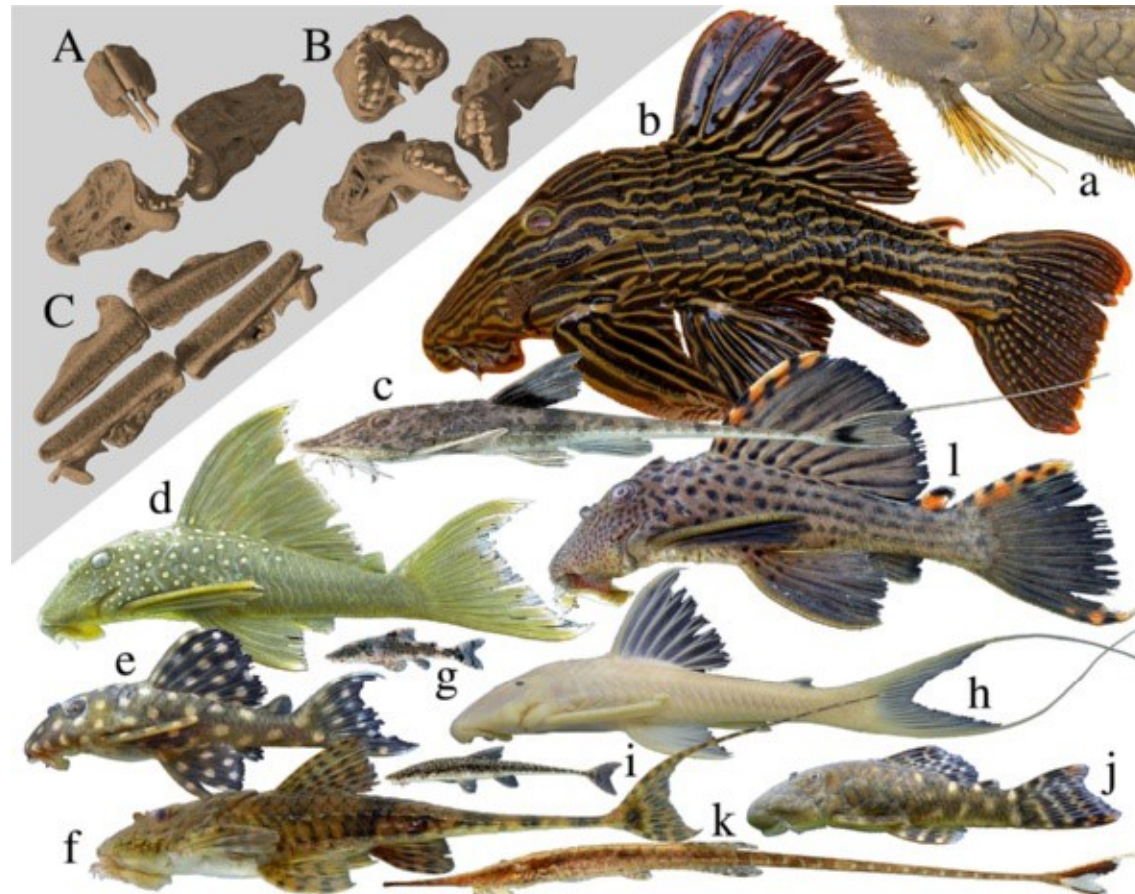
Diversidad trófica: Rol de los peces en las tramas tróficas

RESEARCH ARTICLE

Open Access

Trophic diversity in the evolution and community assembly of loricariid catfishes

Nathan K Lujan^{1,2,3*}, Kirk O Winemiller¹ and Jonathan W Armbruster²



Partición de nicho

Insectívoros

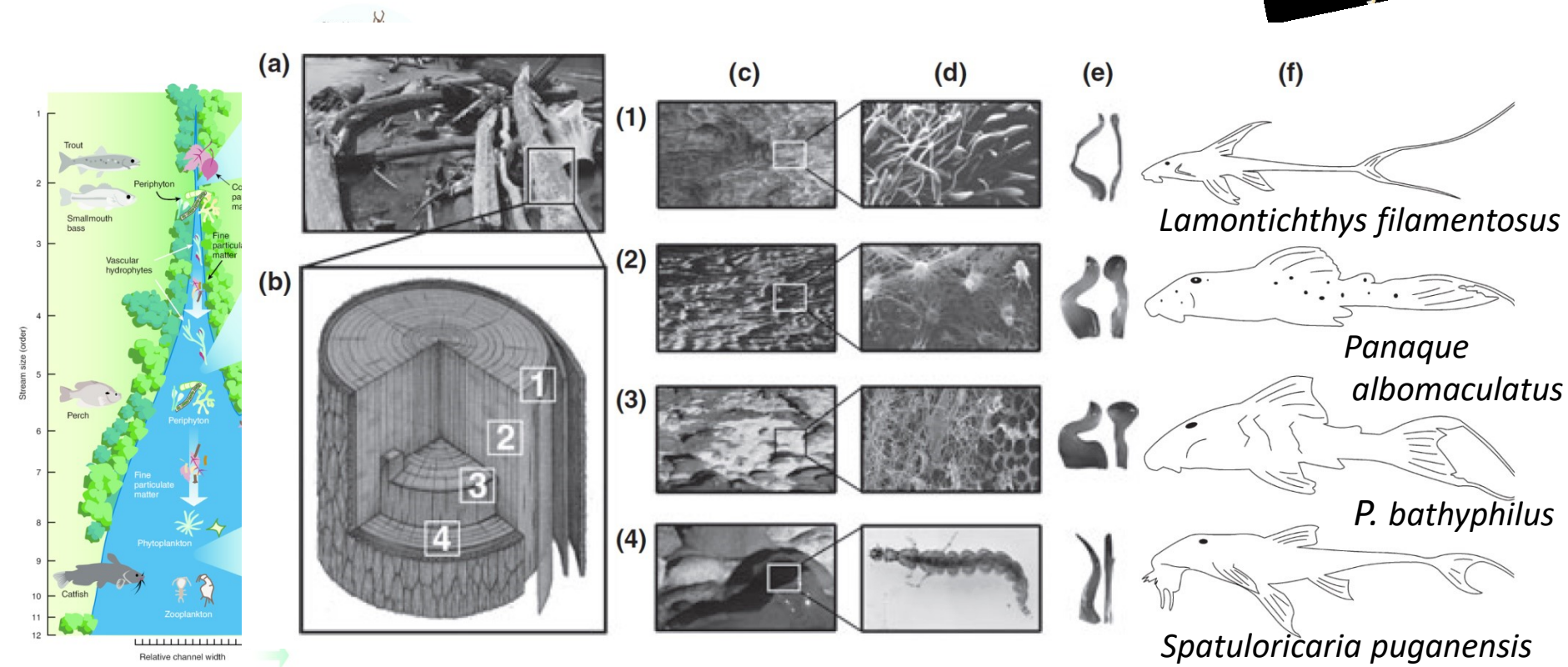
Comedores de madera

Alguívoros

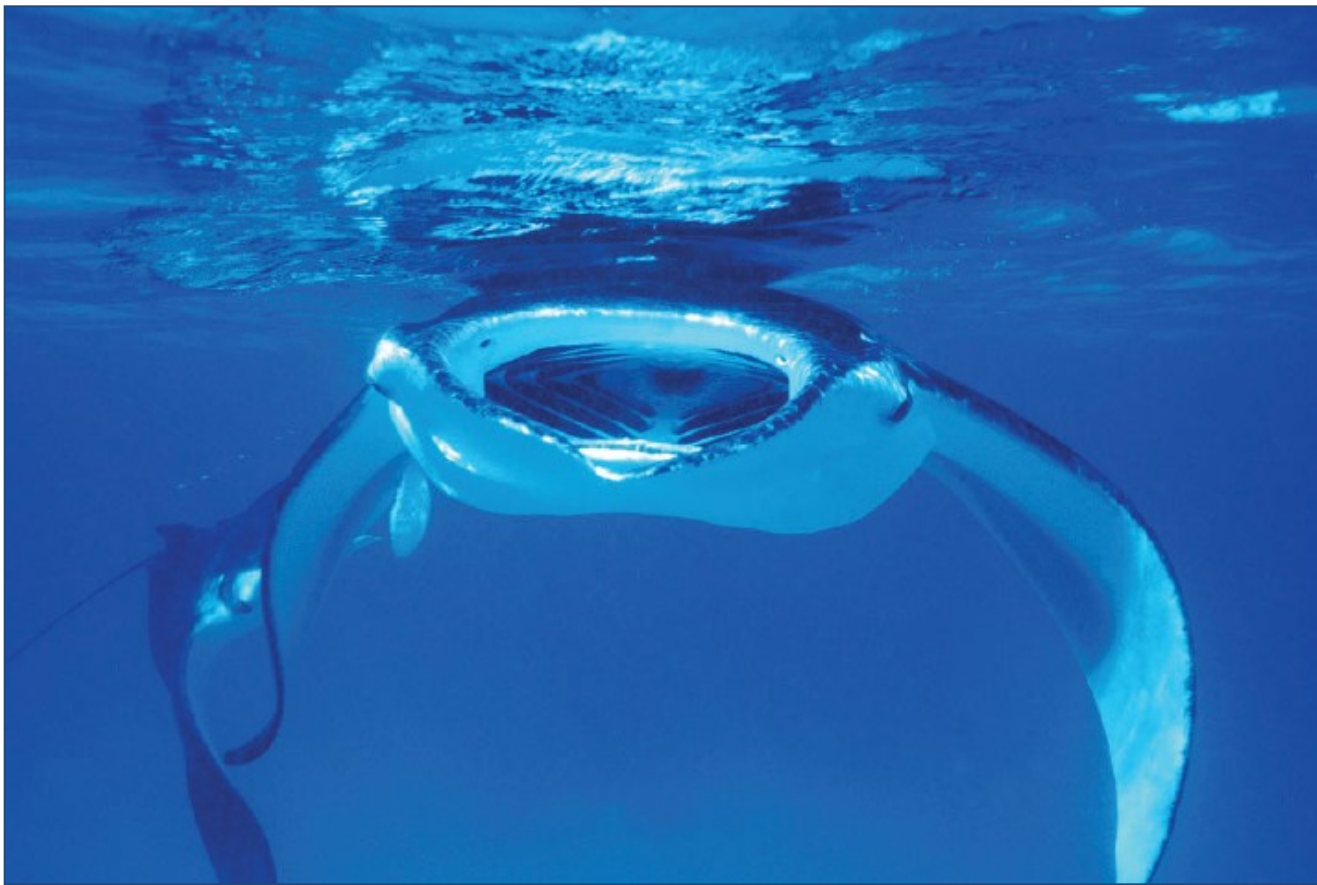
Functional Ecology

Do wood-grazing fishes partition their niche?: morphological and isotopic evidence for trophic segregation in Neotropical Loricariidae

Nathan K. Lujan^{*1,2}, Donovan P. German³ and Kirk O. Winemiller²



Filtradores omnívoros



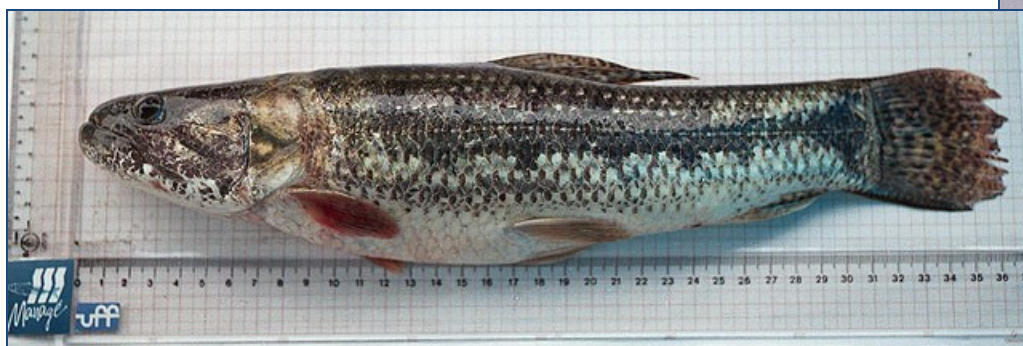
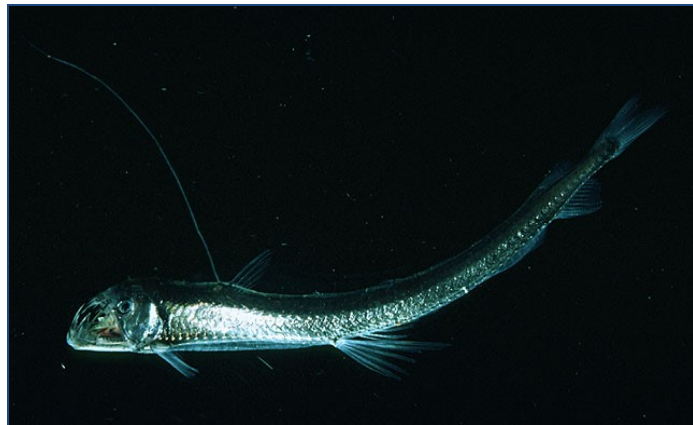
Carnívoros



© D. Gallardo



Carnívoros



Cambios ontogenéticos en la dieta: Gap limitation

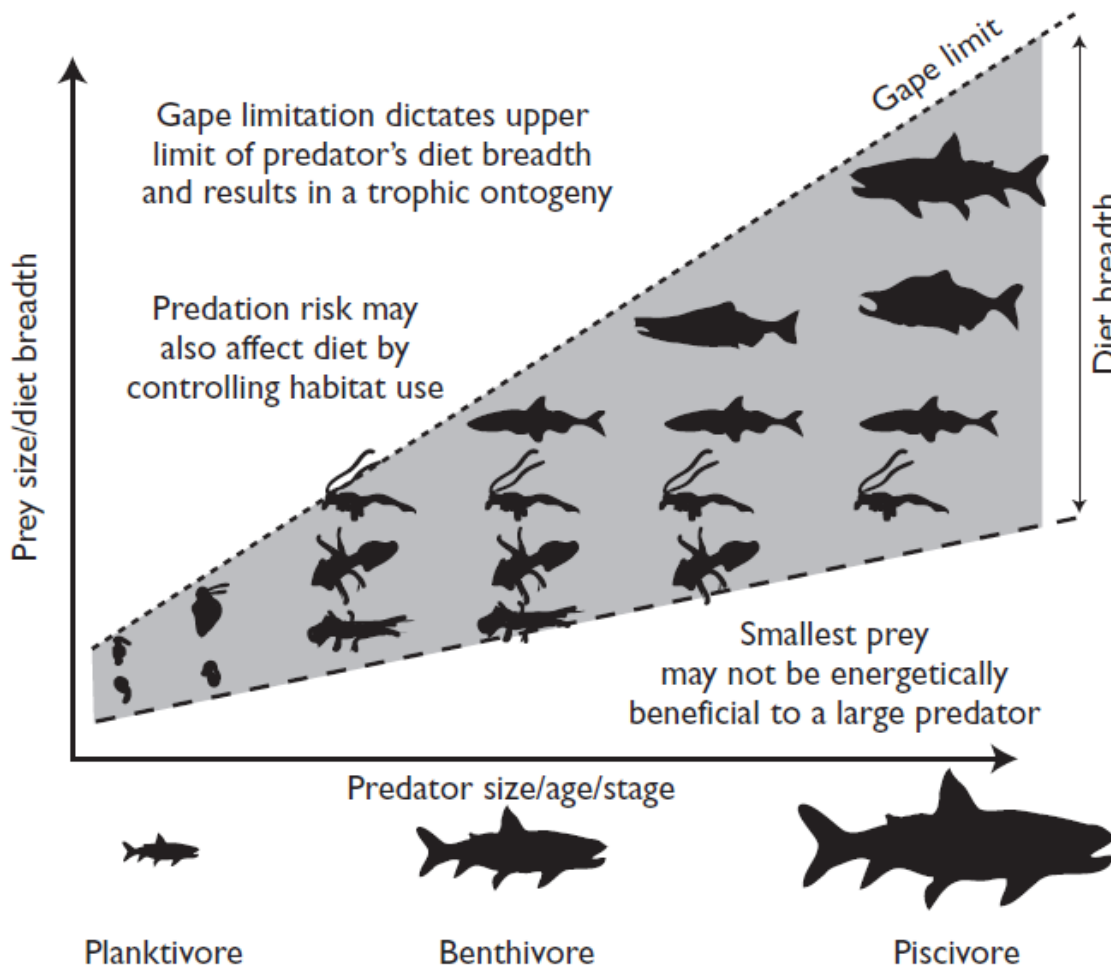


Figure 7.3 Feeding ontogeny of lake trout. Size of food as well as dietary breadth increases with growth. Adapted with permission from Brett Johnson.
http://www.warnercnr.colostate.edu/class_info/fw300/flashcrd/ontogeny.gif

Alimentación Mecanismos

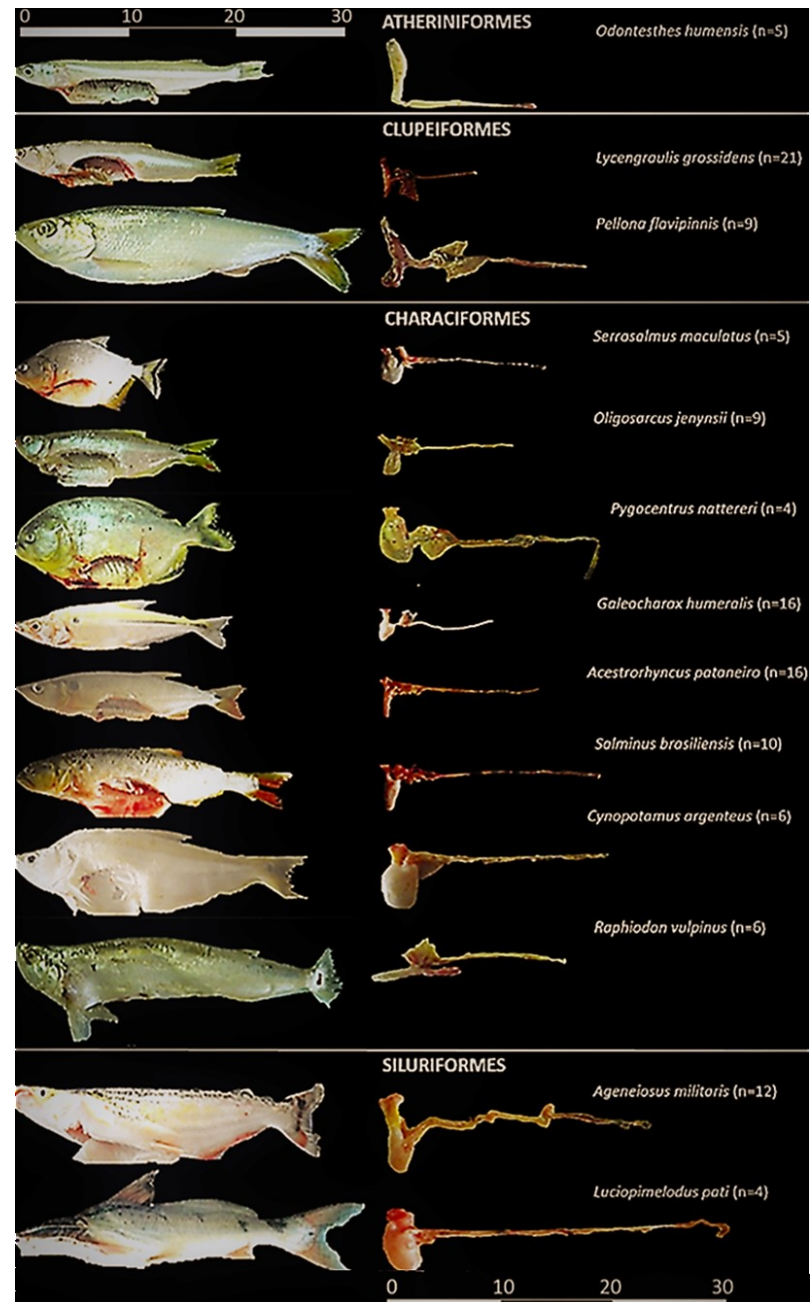
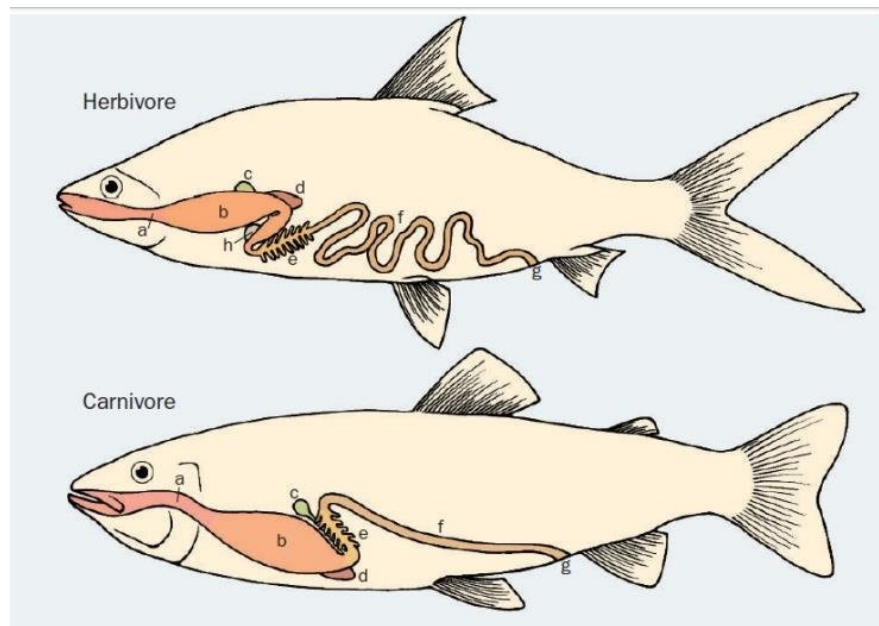
Ram: Boca abierta mientras ocurre el nado. Las branquiespinas importantes para retener el alimento, o directamente al esófago.

Succión: Expansión de la cavidad oral y generación de vacío que mueve la presa hacia adentro.

Mordida: Movimiento activo de las mandíbulas para extraer un pedazo de la presa.

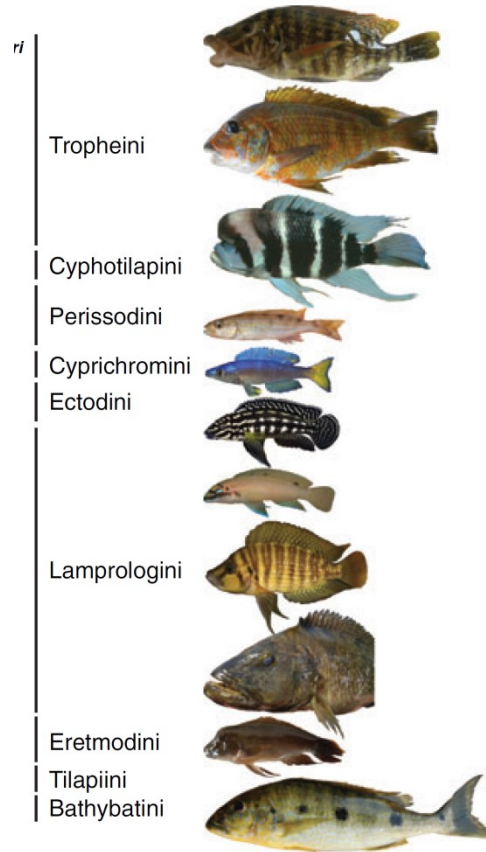
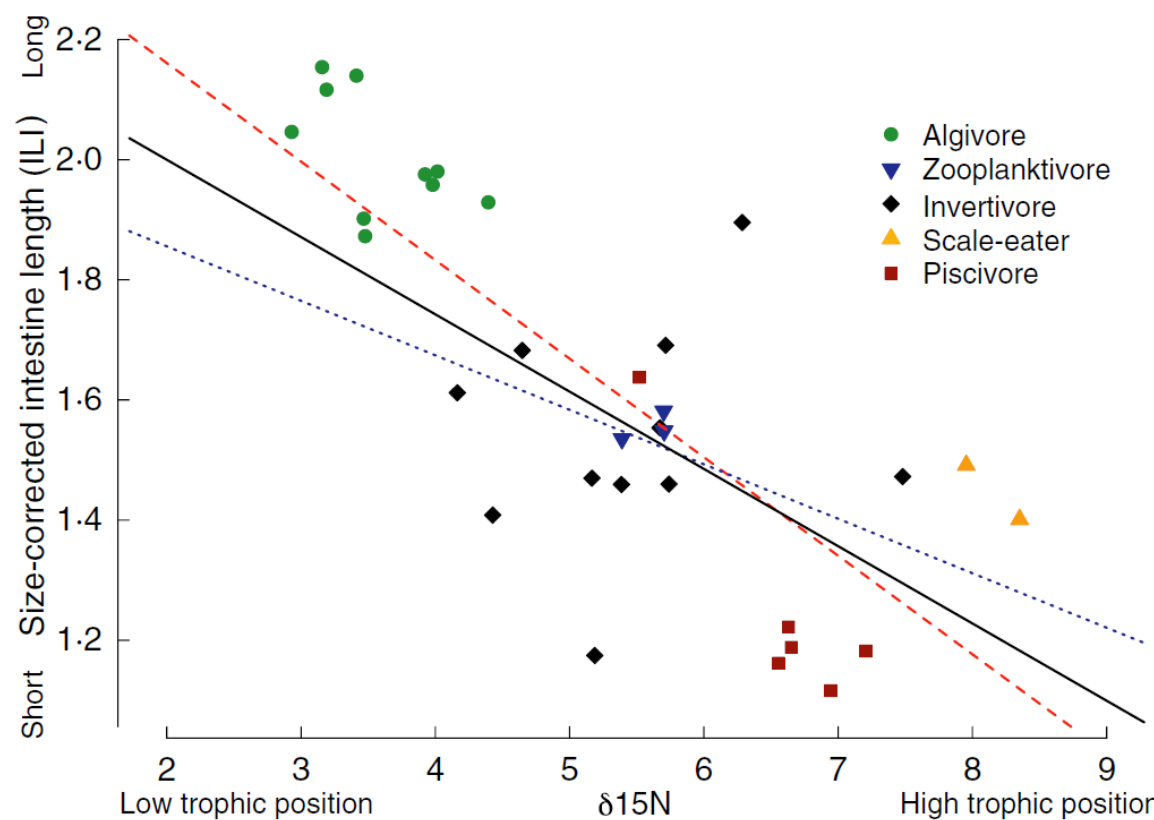
Plasticidad del digestivo

Una de las predicciones de la Teoría Digestiva indica que individuos que consumen mayor % de alimento difícil de digerir requieren mayor tiempo de digestión y por lo tanto tractos digestivos mayores



Diet predicts intestine length in Lake Tanganyika's cichlid fishes

Catherine E. Wagner*,†,1,2,3, Peter B. McIntyre†,1,2,4, Kalmia S. Buels^{1,5}, Danielle M. Gilbert² and Ellinor Michel^{2,6}





Morphological variation of the digestive tract: a feeding behaviour response in a freshwater fish species

Nicolás Vidal · Alejandro D'Anatro ·

Iván González-Bergonzoni ·

Franco Teixeira de Mello · Daniel E. Naya

Pachyurus bonariensis



Oferta de alimento

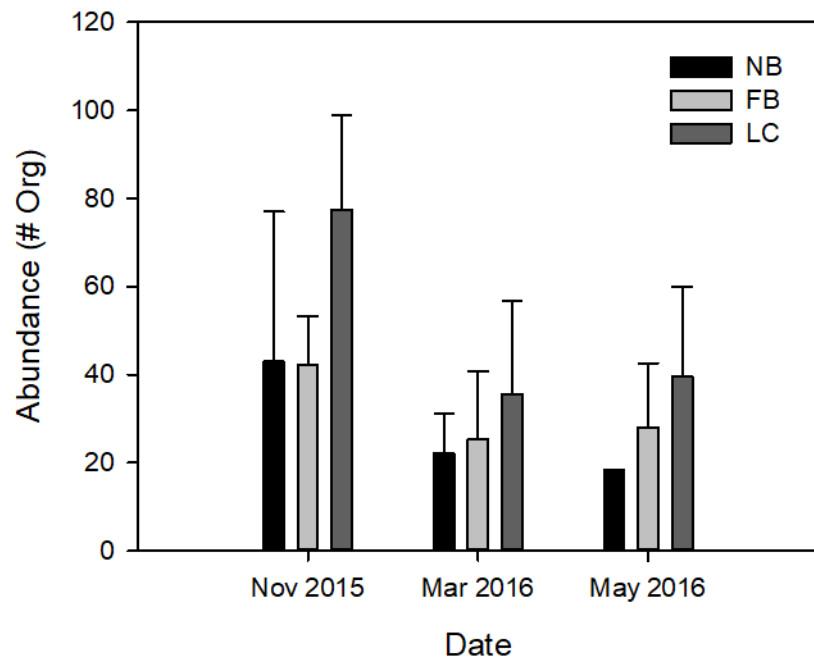
Porcentaje de materia orgánica del sedimento

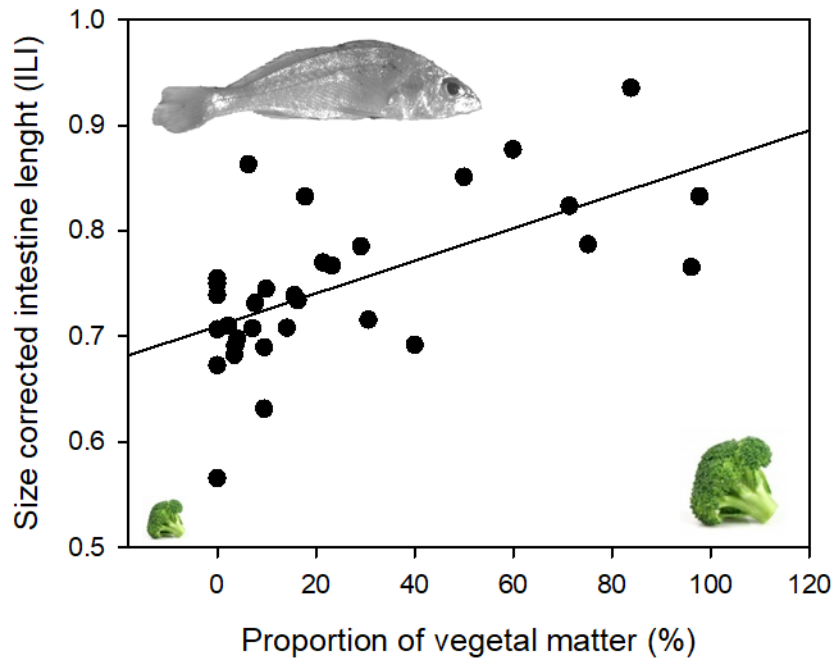
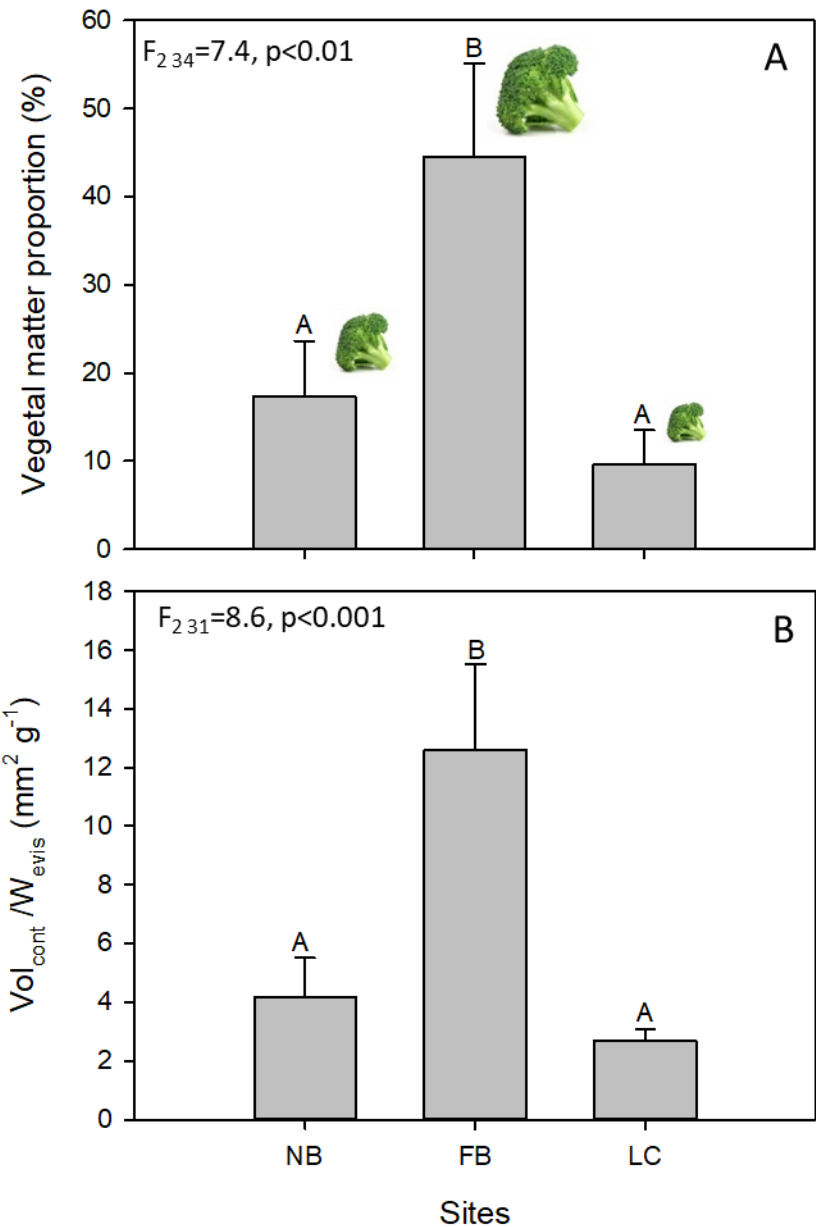
Table 1. Organic mater percentage in the sediment in each site , measured as grams of organic matter per 100 grams of dry sediment.

Dates	NB (N=27)	Sites		
		FB (N=27)	LC (N=21)	
Nov-15	0.9± 1.1	4.7± 1.8	0.9± 0.8	
Mar-16	1.1± 1.6	2.5± 2.1	1.1± 0.9	
May-16	1.6± 2.3	3.8± 3.0	1.0± 1.4	

NB= Nuevo Berlín, FB= Fray Benatos, LC= Las Cañas, N= sample size.
Data presented are absolute means + 1 SDM

Abundancia de macroinvertebrados

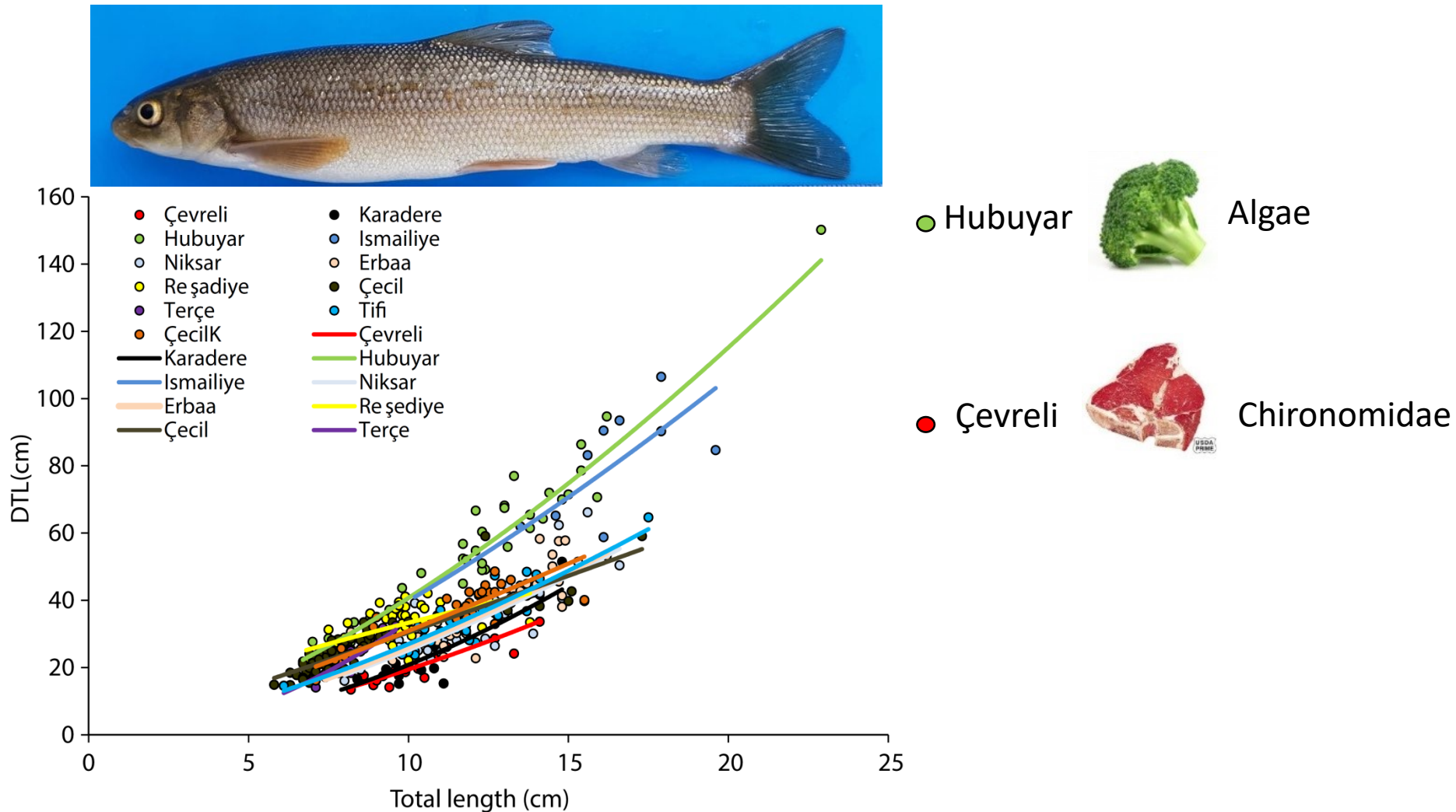






Does diet variation determine the digestive tract length of *Capoeta banarescui* Turan, Kottelat, Ekmekci and Imamoglu, 2006?

By S. Akin, H. Turan and N. Kaymak



RESEARCH ARTICLE



Contrasting Population and Diet Influences on Gut Length of an Omnivorous Tropical Fish, the Trinidadian Guppy (*Poecilia reticulata*)

Eugenia Zandonà¹^{a*}, Sonya K. Auer²^b, Susan S. Kilham¹, David N. Reznick²

